

УДК 548.0:539.377

©1994

КИНЕТИКА ЛОКАЛИЗОВАННОГО ТЕЧЕНИЯ ПРИ ВЫСОКИХ ТЕМПЕРАТУРАХ В МОНОКРИСТАЛЛАХ ФТОРИСТОГО ЛИТИЯ

Г.В.Бережкова, Н.П.Скворцова

Исследована кинетика устойчивого локализованного течения при высоких температурах на модельном ионном кристалле LiF. Проведен анализ статистических распределений полос локализованного сдвига (ПЛС) в деформируемом объеме и средних размеров ступеней сдвига в ПЛС при разных степенях деформации и температурах. Получены соотношения, описывающие зависимость линейной плотности ПЛС и высоты ступеней в ПЛС от деформации, температуры и напряжения. Проведено сопоставление закономерностей скольжения и устанавливавшегося течения и сделан вывод о существенном различии механизмов, определяющих эти процессы.

Развитие пластической неустойчивости течения или макроскопически неоднородной локализованной моды деформации при высоких температурах наблюдается на многих материалах, как неметаллических, так и на металлах [1–11]. Пластическая деформация развивается в зонах интенсивного течения — полосах локализованного сдвига (ПЛС) — и протекает скачкообразно. При предплавильных температурах, когда число ПЛС мало, можно проследить корреляцию между числом ПЛС и количеством макроскачков на деформационных кризых. В работах [1–4] установлено, что переход к локализованной моде происходит при температурах, близких к $0.5T_m$, и связан с резким снижением сопротивления деформированию и переходом к устойчивому течению без упрочнения. Он сопровождается резким возрастанием пластичности (величиной предельной деформации до разрушения) и появлением так называемого «волнистого» скольжения с макроскопическими расщепляющимися ступенями сдвига искривленной формы. При этом в отличие от скольжения рельеф создается ступенями скольжения не только на сторонах выхода винтовых дислокаций, но и на сторонах выхода краевых дислокаций (сторонах, параллельных вектору Бюргерса) (рис. 1).

В данной работе получены количественные характеристики степени локализации деформации в ПЛС и кинетики развития ПЛС.

1. Методика и результаты

Испытания проводились на монокристаллах LiF с температурой плавления $T_m = 1143$ К при сжатии с постоянной скоростью деформации $\dot{\varepsilon} = 10^{-4} \text{ s}^{-1}$ в интервале температур от 673 К ($0.59T_m$) до 1073 К

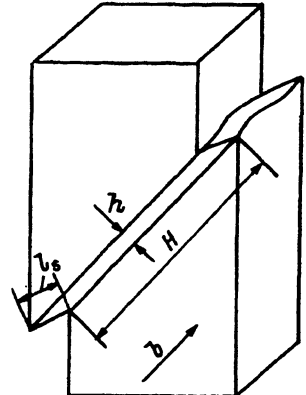


Рис. 1. Схематическое изображение образца с ПЛС.
h — ширина, H — длина ПЛС, l_s — ступенька сдвига.

($0.92T_m$). Методами оптической и интерференционной микроскопии исследовались последовательные стадии формоизменения образца. В зависимости от степени деформации и температуры проанализировано изменение следующих параметров: общее число ПЛС N , расстояние между ПЛС на стороне выхода краевых дислокаций r , линейная плотность ПЛС ρ , относительная доля деформированного объема V_d , высота ступеней сдвига l_s и l_e на сторонах выхода винтовых и краевых дислокаций, ширина зоны локализации h .

Установлено, что ПЛС объединены в группы, насчитывающие от десятка до сотен ПЛС в зависимости от температуры T и степени деформации ε . Возможно одновременное существование в одном образце нескольких групп ПЛС, каждая из которых принадлежит одной из возможных систем скольжения [1,2]. Линейная плотность ПЛС в группе $\rho = N/w$ (N — число ПЛС в группе; w — ширина области, занятой этой группой) немонотонно зависит от деформации ε . Она быстро нарастает на начальной стадии (при $\varepsilon \leq 2\%$), а затем изменяется незначительно (рис. 2, a), хотя сохраняет тенденцию к возрастанию. Повышение температуры испытания ведет к уменьшению числа ПЛС и увеличению расстояния между ними. При этом линейная плотность ПЛС снижается. Если учесть температурную зависимость напряжения течения

$$\sigma_f = \sigma_0 \exp(Q/kT) \quad (1)$$

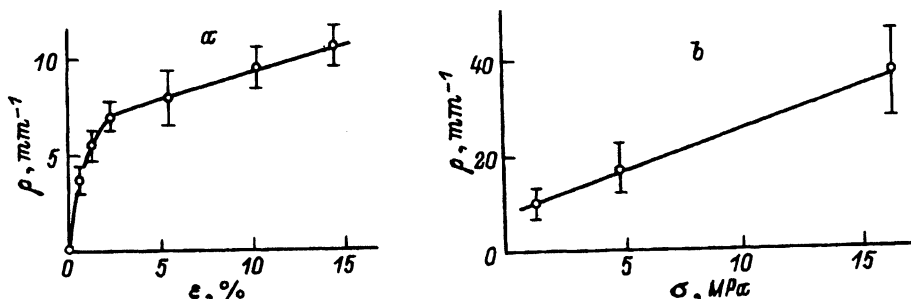


Рис. 2. Зависимость линейной плотности ПЛС ρ от степени деформации ε при 1043 К ($0.92T_m$) (a) и напряжения течения σ при $\varepsilon = 10\%$ (b).

(Q — энергия активации, k и σ_0 — постоянные), то в пределах разброса экспериментальных данных можно считать, что в интервале температур $(0.59\text{--}0.92)T_m$ выполняется линейная зависимость (рис. 2,б), описываемая формулой

$$\rho = \beta\sigma, \quad \beta = 2.5 \text{ (MPa}\cdot\text{mm})^{-1}. \quad (2)$$

Новые ПЛС при всех температурах образуются на краю группы или внутри нее. Об этом свидетельствуют неодинаковая высота ступеней в группе, а также опыты с повторным нагружением [1]. При этом в каждой группе существует наиболее характерное расстояние между ПЛС r_w . При температуре 1043 К ($0.92T_m$) и $\varepsilon = 10\%$ r_w находится в интервале $50 \mu \leq r_w \leq 100 \mu$ (рис. 3). Практически в каждой группе имеется одна ПЛС, расположенная на краю группы, расстояние которой от следующей за ней ПЛС R гораздо больше расстояния между любыми другими ПЛС в группе. На рис. 3 $R = 4r_w$.

Относительная доля деформированного объема, относящегося к группе ПЛС

$$V_d = h \sum_{i=1}^4 N / HS \quad (3)$$

(N — общее число ПЛС, h и H — ширина и длина ПЛС (рис. 1), S — площадь грани образца, i — число систем ПЛС), быстро нарастает на начальной стадии деформации, а при $\varepsilon > 5\%$ изменяется мало (рис. 4). С ростом температуры V_d возрастает, но даже при 1073 К ($0.92T_m$) V_d не превышает 5% при общей деформации образца $\sim 15\%$.

Приведенные результаты свидетельствуют о сильной пространственной локализации зон интенсивного течения.

Изучение развития локализованного течения в отдельной ПЛС проводилось на основе анализа статистического распределения размеров

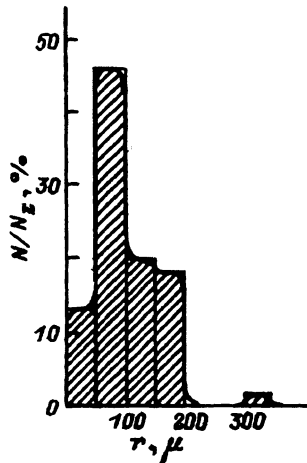


Рис. 3. Статистическое распределение расстояний между ПЛС в одной группе при 1043 К и $\varepsilon = 10\%$.

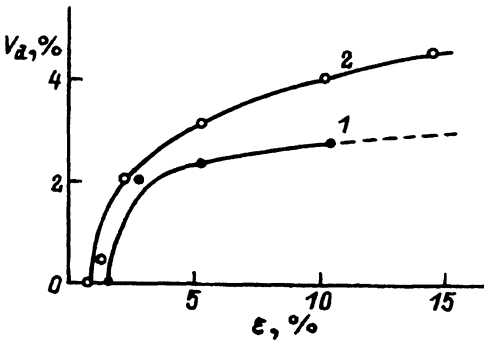


Рис. 4. Зависимость относительной доли деформированного объема V_d , относящегося к группе ПЛС, от деформации ε при $T = 873$ (1), 1073 К (2).

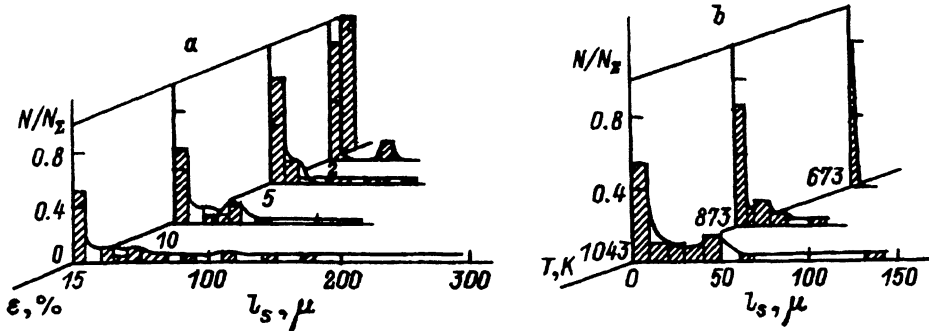


Рис. 5. Статистическое распределение ступеней сдвига в ПЛС при различных степенях деформации ε и $T = 1043$ К (а) и при различных температурах T и $\varepsilon = 10\%$ (б).

ступеней сдвига l_s при разных ε и T . Отличительной особенностью высокотемпературной локализации является непрямолинейная «волнистая» форма ступеней сдвига [1-3]. Изменения высоты ступеньки вдоль ее длины могут достигать 50%. Поэтому при статистическом анализе в качестве параметра использовался усредненный по длине размер ступеньки.

Характерной особенностью полученных статистических распределений ступеней сдвига по высоте (рис. 5) является наличие ярко выраженных максимумов, соответствующих значениям $l_s < 10 \mu$. С возрастанием ε и T число ПЛС с такими небольшими ступеньками уменьшается.

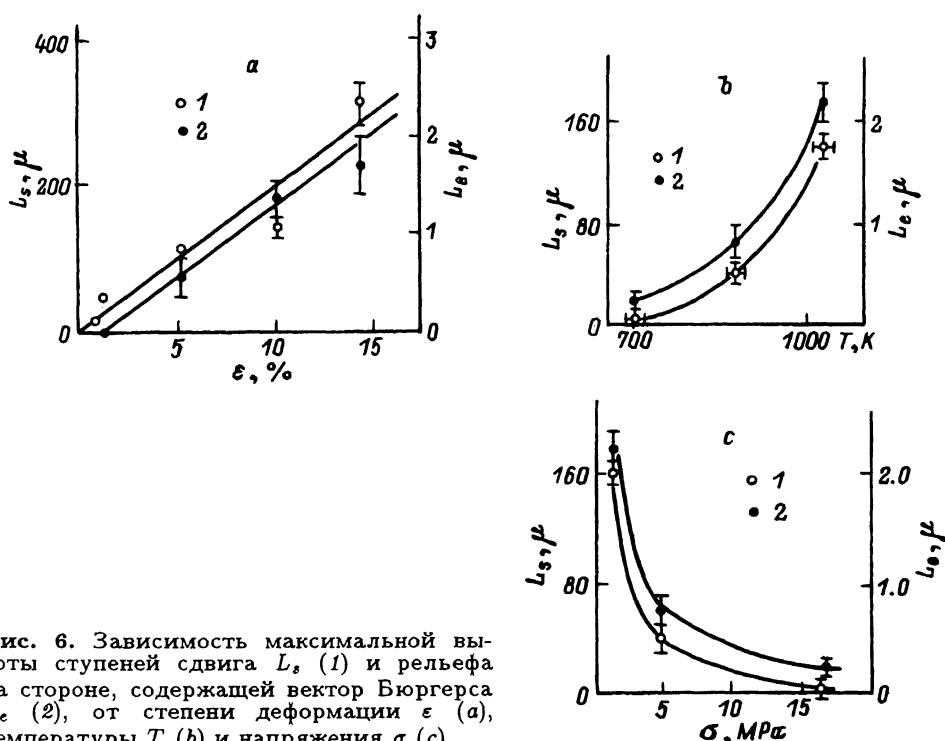


Рис. 6. Зависимость максимальной высоты ступеней сдвига L_s (1) и рельефа на стороне, содержащей вектор Бюргерса L_e (2), от степени деформации ε (а), температуры T (б) и напряжения σ (с).

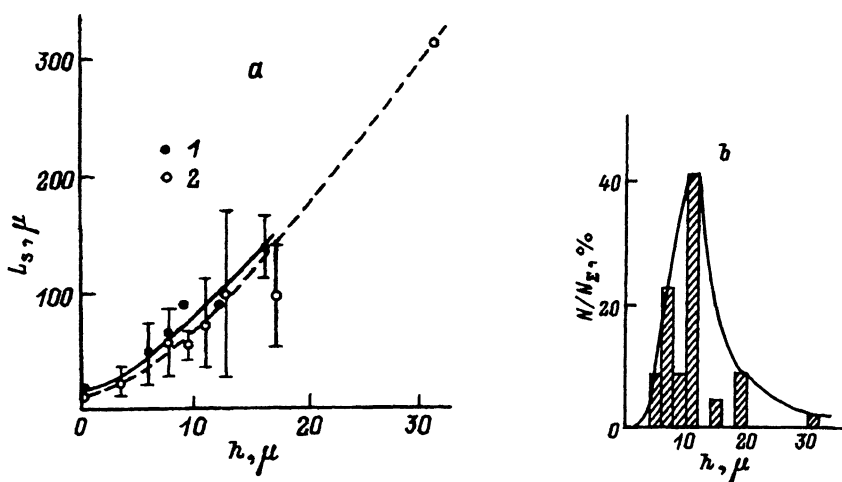


Рис. 7. а) Зависимость между максимальной высотой ступеней сдвига в ПЛС L_s , и ее шириной h при $\epsilon = 10.1$ (1) и 14.5% (2). б) Статистическое распределение полос локализованного сдвига по ширине h при $T = 1043$ К, $\epsilon = 10\%$.

ется и возрастает количество ступеней высотой в сотни микрон, различимых невооруженным глазом. Это указывает на большую устойчивость локализованного течения. С ростом температуры тенденция к образованию больших ступеней усиливается.

Зависимость высоты самых больших ступеней сдвига $L_s^{\max} = L_s$ от ϵ и T (рис. 6) описывается соотношениями

$$L_s = \alpha \epsilon, \quad \alpha = 2 \cdot 10^3 \mu, \quad (4)$$

$$L_s = l_0 \exp(-A/T), \quad l_0 = 1.6 \cdot 10^{-4} \mu, \quad A = 7 \cdot 10^3 \text{ K}^{-1}, \quad (5)$$

$$L_s = B \sigma^{-n}, \quad B = 3 \cdot 10^2 \mu, \quad \sigma - \text{MPa}, \quad n = 1, 5. \quad (6)$$

Высота складки на стороне выхода краевых дислокаций L_e на два порядка меньше высоты ступеньки сдвига L_s . Ширина складки соответствует ширине ПЛС. Величина h растет пропорционально росту ступени сдвига при всех температурах (рис. 7, а)

$$h = 0.1 L_s. \quad (7)$$

Каждой температуре соответствует наиболее вероятная ширина ПЛС. При $T = 1043$ К ($0.9T_m$) она составляет $\sim 10 \mu$ (рис. 7, б).

2. Обсуждение

Полученные результаты впервые дают представление о кинетике устойчивого локализованного течения при высоких температурах и закономерностях, описывающих зависимость степени локализации от величины и температуры деформации. Для того, чтобы лучше понять значение этих результатов, следует провести сопоставление закономерностей развития процессов устойчивого локализованного течения и скольжения, а также происходящих при этом формоизменений.

Высокотемпературное локализованное течение, так же как и скольжение, развивается вдоль активных систем скольжения. Низкотемпературная преддеформация стимулирует образование ПЛС. Это можно видеть, если предварительно продеформировать образец при комнатной температуре и травлением визуализировать в нем полосы скольжения. При высокой температуре ПЛС образуются в тех местах, где находились полосы скольжения преддеформации. Однако в отличие от полос скольжения, постепенно заполняющих деформируемый объем путем образования новых полос скольжения и их расширения по механизму двойного поперечного скольжения [12], для ПЛС характерна сильная пространственная локализация в групах, где плотность ПЛС определяется уровнем напряжения течения.

Число ПЛС и их линейная плотность в группе тем меньше, чем ниже σ и выше T . При скольжении, наоборот, число полос скольжения и их линейная плотность уменьшаются при понижении температуры и повышении напряжения. Прямолинейные ступеньки скольжения по размеру не превышают десятых долей микрона. Для их выявления и измерений необходимо применение методов большого увеличения и высокого разрешения — оптических интерференционных и электронно-микроскопических (реплик, декорирования). В то же время волнистые расщепляющиеся ступени сдвига в ПЛС достигают по высоте сотен микрон и могут быть видны невооруженным глазом. Сдвиговые деформации на одну ступень сдвига при скольжении не превышают нескольких процентов, и общая деформация образца набирается за счет увеличения количества полос скольжения, постепенно заполняющих деформируемый объем. При локализованном течении сдвиговая деформация в ПЛС может достигать 1000%.

Деформация развивается путем устойчивого течения в ПЛС, которые разрезают объем на практически недеформируемые блоки. При этом ПЛС перерезают любые поверхностные дефекты (паралины, трещины), субграницы, границы зерен [1], доменные границы [11], являющиеся непреодолимыми препятствиями для полос скольжения. Доля деформируемого объема в ПЛС не превышает нескольких процентов от общего объема образца. Скольжение упрочняет материал, полосы скольжения препятствуют распространению трещин. ПЛС не упрочняют материал и не тормозят рост трещин. Скольжение начинается при достижении предела текучести, напряжение устойчивого течения при температуре ниже $0.7T_m$ намного превышает предел текучести [3]. Полосы скольжения развиваются на стадиях деформационного упрочнения, появление ПЛС относится к началу стадии деформационного разупрочнения [3]. При скольжении разрушение происходит путем образования и роста хрупких трещин. Переход к локализованному течению сопровождается переходом к вязкому разрушению. Большие различия наблюдаются также в микроструктуре полос скольжения и ПЛС. ПЛС соответствует фрагментированная мелкозернистая дислокационная структура [4] в отличие от дислокационных скоплений в полосах скольжения. Для областей, занятых ПЛС, характерно пересыщение вакансиями [4,13].

До сих пор, начиная с работы Шмита и Боаса [14], распространена точка зрения, что при высоких температурах гигантские ступени сдвига характеризуют «огрубление следов скольжения». Однако

большое различие в закономерностях развития деформации в полосах скольжения и ПЛС, резкий переход от скольжения к локализованному течению, сопровождающийся качественными изменениями свойств деформируемого материала, позволяют сделать вывод о существенном различии физических механизмов, определяющих скольжение и высокотемпературное локализованное течение. Эти различия также дают основание для критического отношения к механистическому использованию низкотемпературных механизмов скольжения для объяснения процессов, протекающих при высоких температурах на стадии деформационного разупрочнения, и открывают новые подходы к описанию развития неустойчивости пластического течения. Можно предположить, что предшествующая деформация, протекающая в соответствии с дислокационными механизмами, приводит к локальному деформационному разупорядочению — динамической аморфизации тонкого слоя вещества, в котором течение приобретает квазивязкий характер [1–4, 15] и развивается в соответствии с закономерностями, описанными в данной работе.

Список литературы

- [1] Бережкова Г.В., Скворцова Н.П., Перстнев П.П., Регель В.Р. // ФТТ. 1984. № 4. С. 1074–1079.
- [2] Бережкова Г.В., Скворцова Н.П., Регель В.Р., Перстнев П.П. // Изв. АН СССР. Сер. физ. 1986. Т. 50. № 3. С. 496–500.
- [3] Бережкова Г.В., Скворцова Н.П. // ФТТ. 1991. Т. 33. № 2. С. 400–405.
- [4] Бережкова Г.В., Скворцова Н.П. // Латв. физ.-техн. журн. 1991. № 4. С. 34–44.
- [5] Buch R.H., Huggins R.A. // Acta. Met. 1964. V. 12. N 6. P. 697–704.
- [6] Bretheau T., Dolin C. // J. Mater. Sci. 1978. V. 13. N 3. P. 587–591.
- [7] Bonneville J., Caillard D., Carrad M., Martin J.L. // Rev. Phys. Appl. 1988. V. 23. N 4. P. 461–473.
- [8] Урусовская А.А., Демченко В.В., Струк Я.А. // ФТТ. 1988. Т. 30. № 8. С. 2546–2548.
- [9] Urusovskaya A.A., Demchenko V.V. // Cryst. Rev. Techn. 1992. V. 27. N 8. P. 1121–1131.
- [10] Смирнов Б.И., Чуднова Р.С., Шпейзман В.В. // ФТТ. 1992. Т. 34. № 6. С. 1759–1764.
- [11] Смирнов Б.И., Николаев В.И. // ФТТ. 1993. Т. 35. № 7. С. 1840–1846.
- [12] Смирнов Б.И. Дислокационная структура и упрочнение кристаллов. Л.: Наука, 1981. 236 с.
- [13] Бережкова Г.В., Скворцова Н.П. // Кристаллография. 1994. Т. 39. № 2 (в печати).
- [14] Шмид Е., Боас В. Пластичность кристаллов, особенно металлических. М.; Л., ОНТИ, 1938. 316 с.
- [15] Альшиц В.И., Бережкова Г.В. Физическая кристаллография. М.: Наука, 1992. С. 129–151.

Институт кристаллографии РАН
Москва

Поступило в Редакцию
10 января 1994 г.